



# BENEFIT

Boosting the telecommunications  
engineer profile to meet modern  
society and industry needs

# Sistemi sa više brzina (13M031SVB)

## Deo 4

Master studije

Jelena Ćertić, Katedra za Telekomunikacije,  
Elektrotehnički fakultet, Univerzitet u Beogradu

Co-funded by the  
Erasmus+ Programme  
of the European Union



The European Commission's support for the production of this publication does not constitute an endorsement of the contents, which reflect the views only of the authors, and the Commission cannot be held responsible for any use which may be made of the information contained therein.

# Tehnika frekvencijskog maskiranja

- Metoda projektovanja filtara gde se kombinacijom više filtara dobija filter željne selektivnosti, tako da je ukupan broj množaka u svim filtrima manji nego kada bi se filter projektovao direktno
- Podvarijanta tehnike frekvencijskog maskiranja se zove i interpolirani filter

# Problem koji se rešava

- Tipično, kod FIR filtera kod kojih je zahtevana širina prelazne zone veoma mala (selektivni filtri) red filtra postaje veoma veliki
- Sa stanovišta realizacije, problem je veliki broj računskih operacija množenja, kao i veliki broj potrebnih memorijskih lokacija za čuvanje odbiraka signala i koeficijenata filtra
- Sa stanovišta samog dizajna, selektivni filtri imaju koncentrisane nule (i polove za IIR filtre) pa je osetljivost po pravilu veća

# Moguća rešenja

- Očigledno rešenje je da se filter realizuje kao kaskadna veza više filtera (kod IIR praktično uvek, time se kod IIR rešava problem osjetljivosti)
- Ukupan potreban broj računskih operacija množenja ostaje približno isti ili se čak povećava, slično je i sa zauzećem memorije
- Rešenje koje se koristi je tehnika frekvencijskog maskiranja

# Frekvencijsko maskiranje

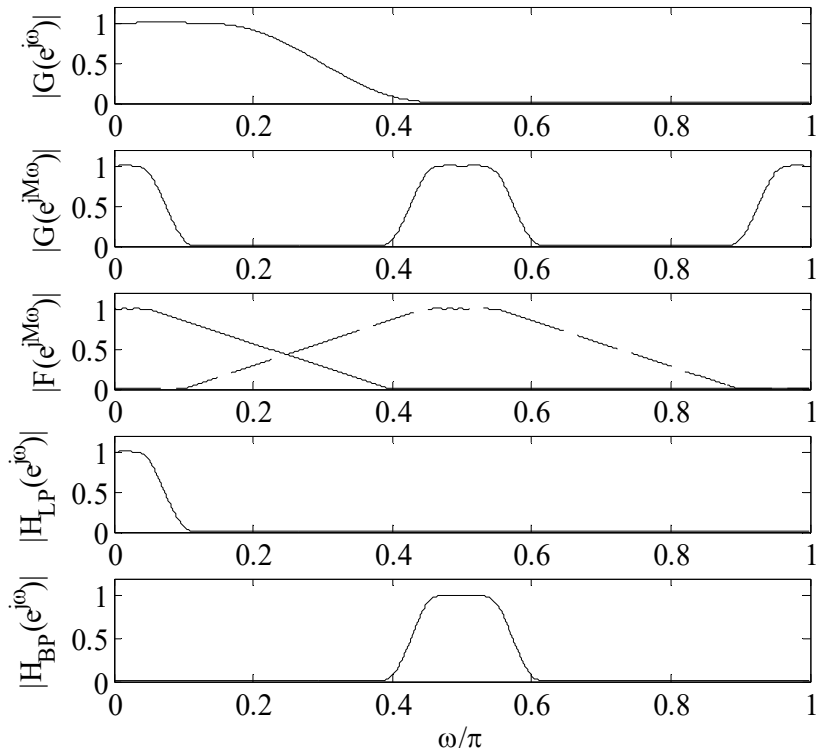
- Jednostavnija varijanta zove se interpolirani filter i sastoji se od kaskande veze dva filtra,

$$H(z) = G_M(z)F(z)$$

- od kojih je prvi dobijen *upsamplingom* impulsnog odziva „umereno selektivnog“ FIR filtra

$$G_M(z) = G(z^M)$$

# Frekvenčjsko maskiranje

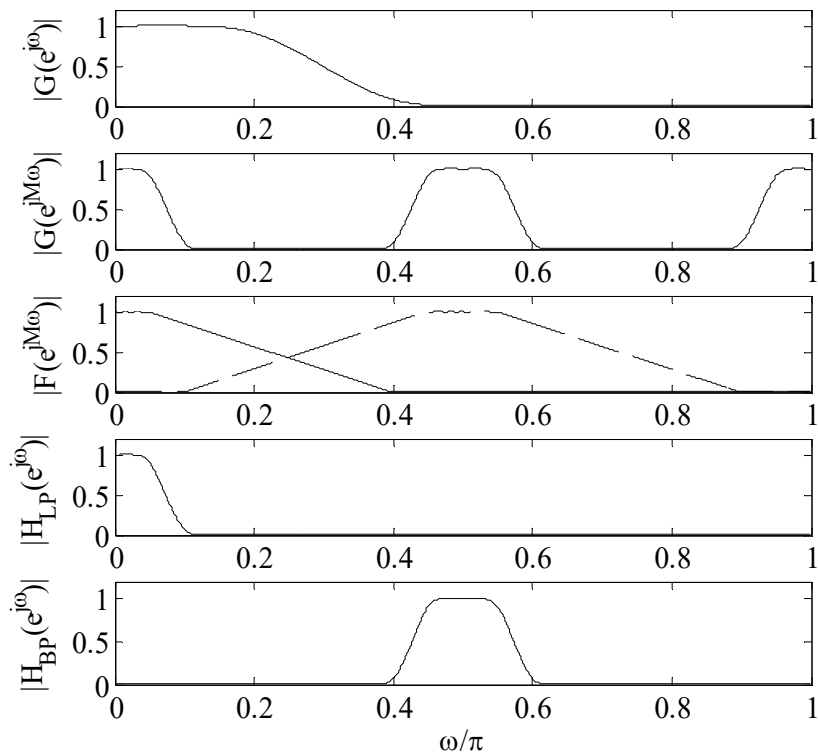


A zatim se takozvanim maskirajućim filtrom potisnu neželjene komponenete filtra  $G_M(z)=G(z^M)$

Može se dobiti selektivniji LP filter

Ili BP filter

# Frekvenčjsko maskiranje



Red i sliženost filtra  $G(z)$  nije prevelika,  
a broj nenultih koeficijenata filtra  $G_M(z)$   
je isti kao kod filtra  $G(z)$

Red i složenost maskirajućih filtara je  
znatno manja

Ukupan broj koeficijenata u obe  
kaskade je manji u odnosu na direktno  
projektovanje filtra

# Frekvencijsko maskiranje - generalizacija

- Primena tehnike frekvencijskog maskiranja se, donekle, razlikuje kada se projektuju filtri uskog propusnog opsega i kada se projektuju filtri relativno širokog propusnog opsega (do sada opisano, radi samo za filtre uskog propusnog opsega)
- U literaturi se slučaj kada se projektuje uskopojasni filter naziva i interpolirani filter

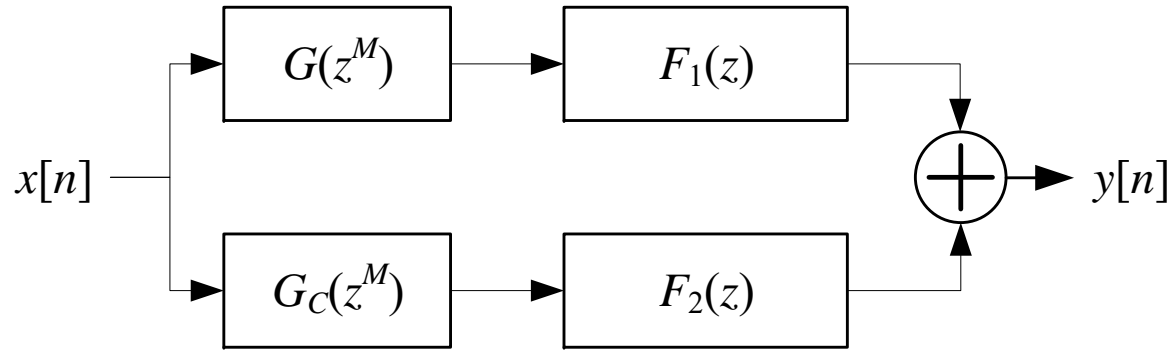
# Frekvencijsko maskiranje - generalizacija

- Za filtre relativno širokog propusnog opsega koristi se nešto složenija principska šema koja se sastoji od ukupno četiri filtra
- Funkcija prenosa rezultujućeg filtra se može izraziti kao:

$$H(z) = G(z^M)F_1(z) + G_C(z^M)F_2(z)$$

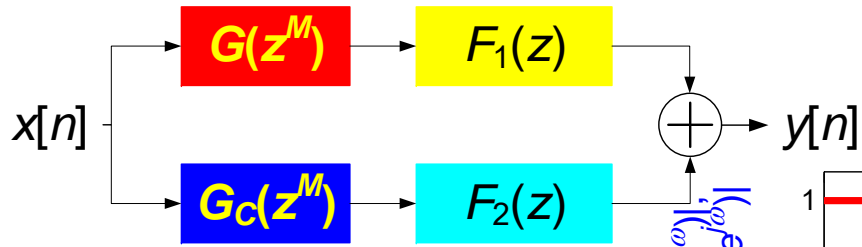
gde su filtri  $G(z^M)$  i  $G_C(z^M)$  dobijeni od komplementarnih filtara  $G(z)$  (propusnik niskih frekvencija) i  $G_C(z)$  (propusnik visokih frekvencija) zamenom jedne ćelije za kašnjenje nizom od  $M$  ćelija za kašnjenje (*upsampling*). Filtri  $F_1(z)$  i  $F_2(z)$  su maskirajući filtri propusnici niskih frekvencija.

# Frekvenčijsko maskiranje - generalizacija

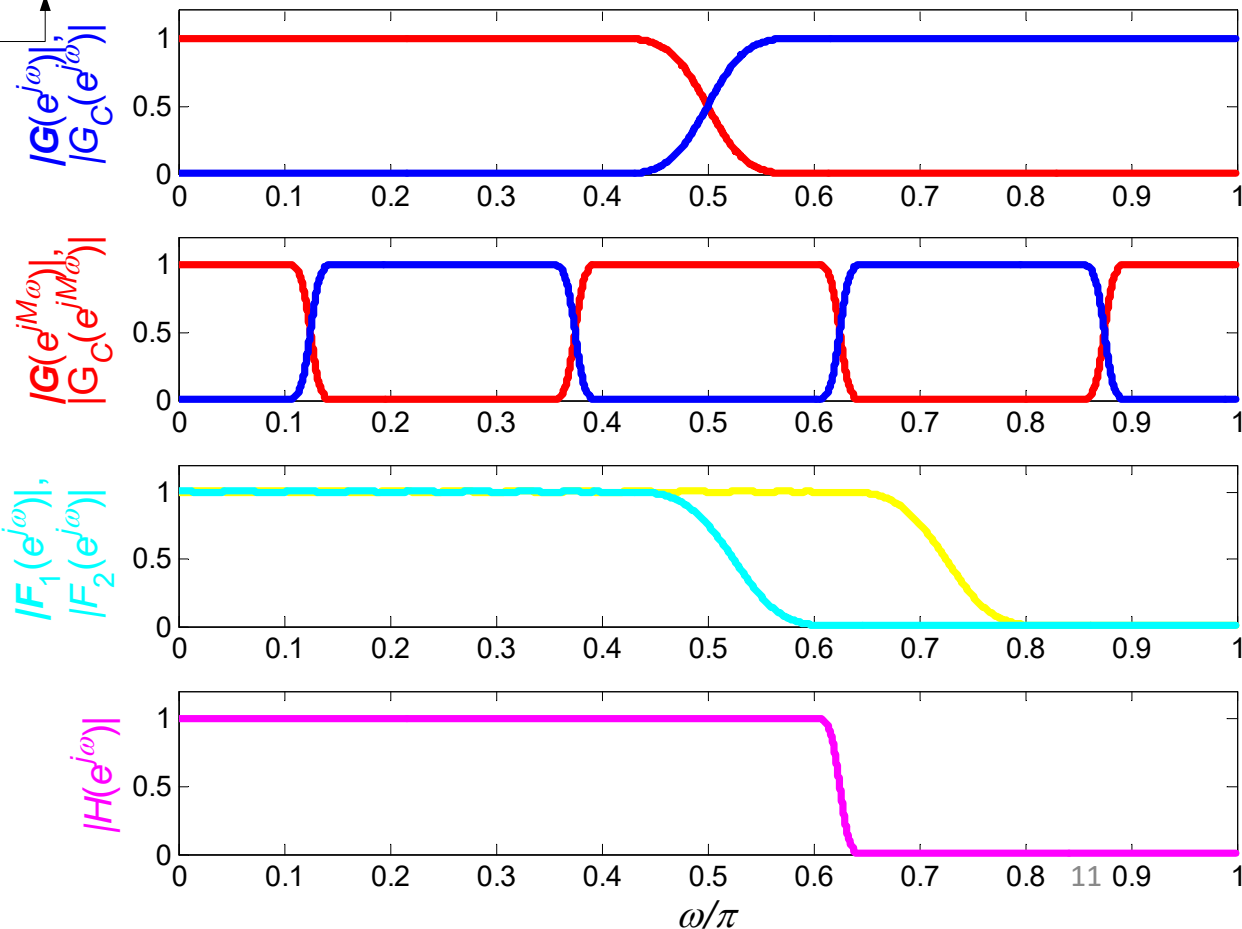


$G(z)$  i  $G_c(z)$  mogu biti FIR filtri (*delay-komplementaran* filtarski par) ili IIR filtri (*all-pass* komplementaran filtarski par)  
 $F_1(z)$  i  $F_2(z)$  moraju biti FIR linearne faze i moraju se „podesiti“ tako da budu istog reda

# Frekvenčijsko maskiranje – primer, *delay* komplementaran *half-band* FIR filtarski par



Filter	$\omega_p$	$\omega_s$
$G(e^{j\omega})$	<b>0.4π</b>	<b>0.6π</b>
$F_1(e^{j\omega})$	<b>0.6π</b>	<b>0.85π</b>
$F_2(e^{j\omega})$	<b>0.4π</b>	<b>0.65π</b>
$H(e^{j\omega})$	<b>0.6π</b>	<b>0.65π</b>



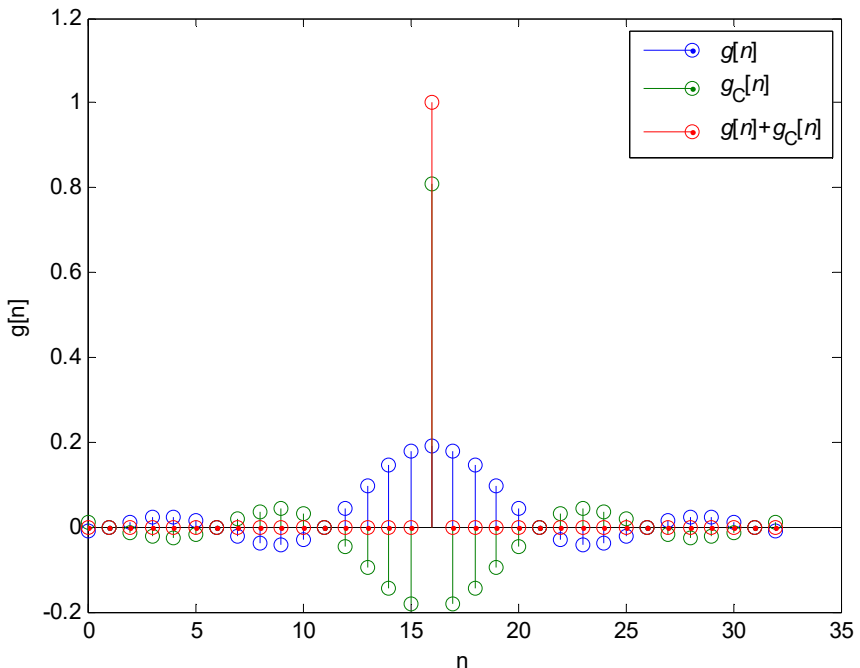
# Komplementarnost

- Definiše se za filtarski par (ili grupu filtera), za nase su od interesa definicije za filtarske parove
- Filtarski par podrazumeva da se istovremeno projektuju (i realizuju) filter propusnik niskih frekvencija i filter propusnik visokih frekvencija
- Ostvarene karakteristike najčešće nisu nezavisne, a od posebnog su interesa komplementarni filtarski parovi

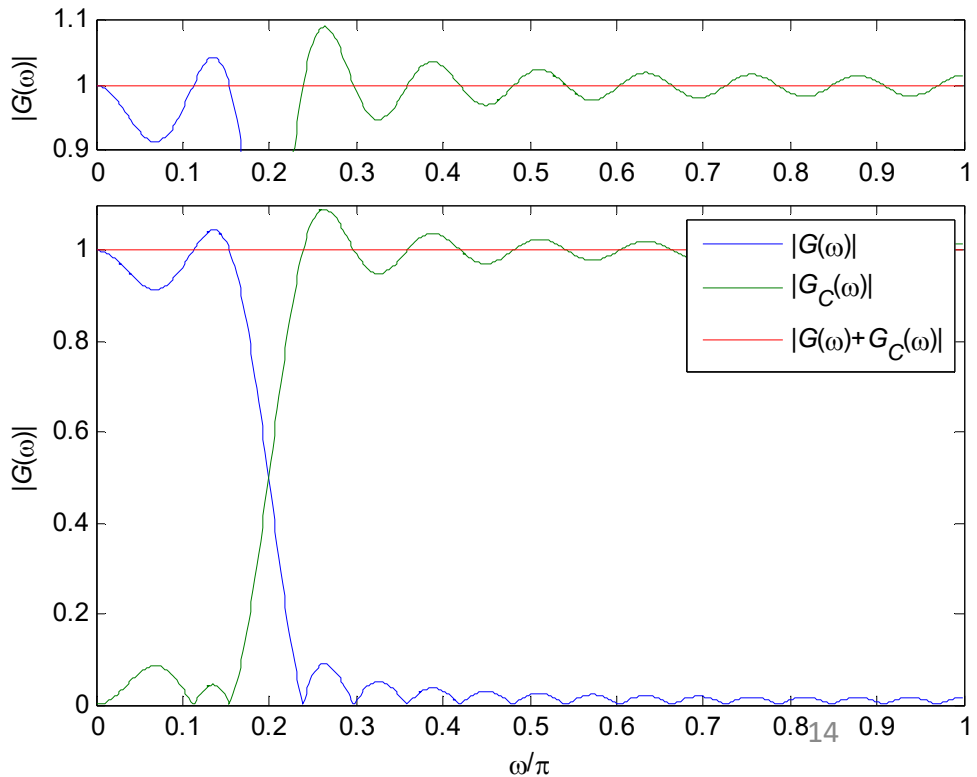
# Komplementarni filtarski parovi

- *delay* komplementarnost 
$$G(e^{j\omega}) + G_C(e^{j\omega}) = e^{-jk\omega}$$
- *all-pass* komplementarnost 
$$G(e^{j\omega}) + G_C(e^{j\omega}) = A_{AP}(e^{j\omega})$$
- *power* komplementarnost 
$$|G(e^{j\omega})|^2 + |G_C(e^{j\omega})|^2 = 1$$
- *magnitude* komplementarnost 
$$|G(e^{j\omega})| + |G_C(e^{j\omega})| = 1$$

# Komplementarni filtarski parovi *delay komplementarni*

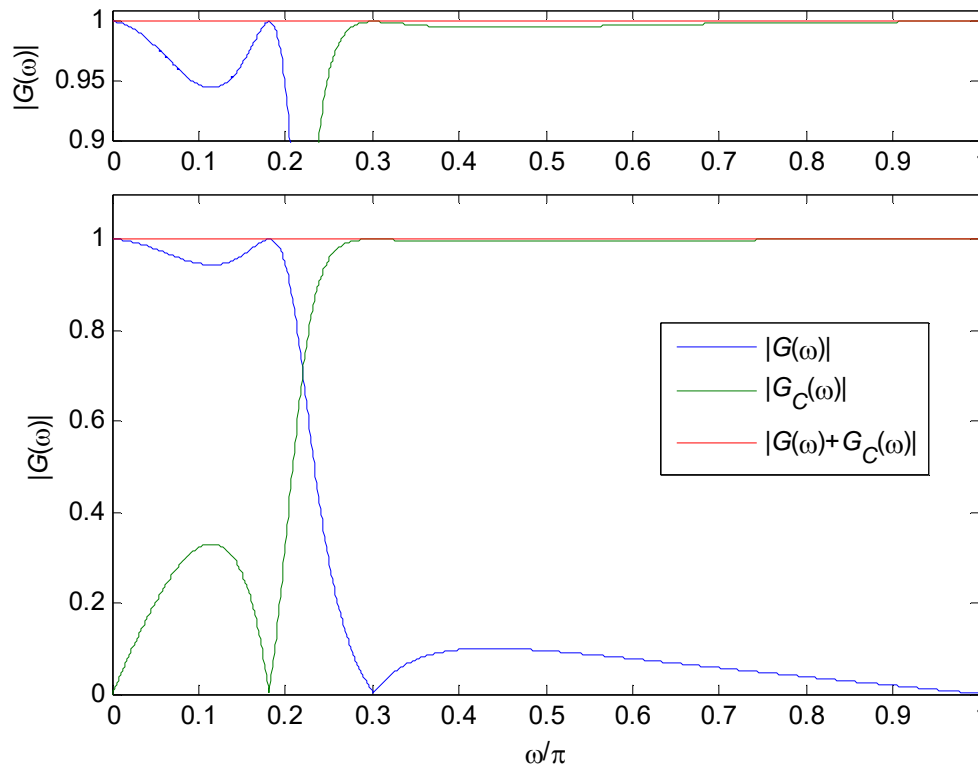


$$G(e^{j\omega}) + G_C(e^{j\omega}) = e^{-jk\omega}$$



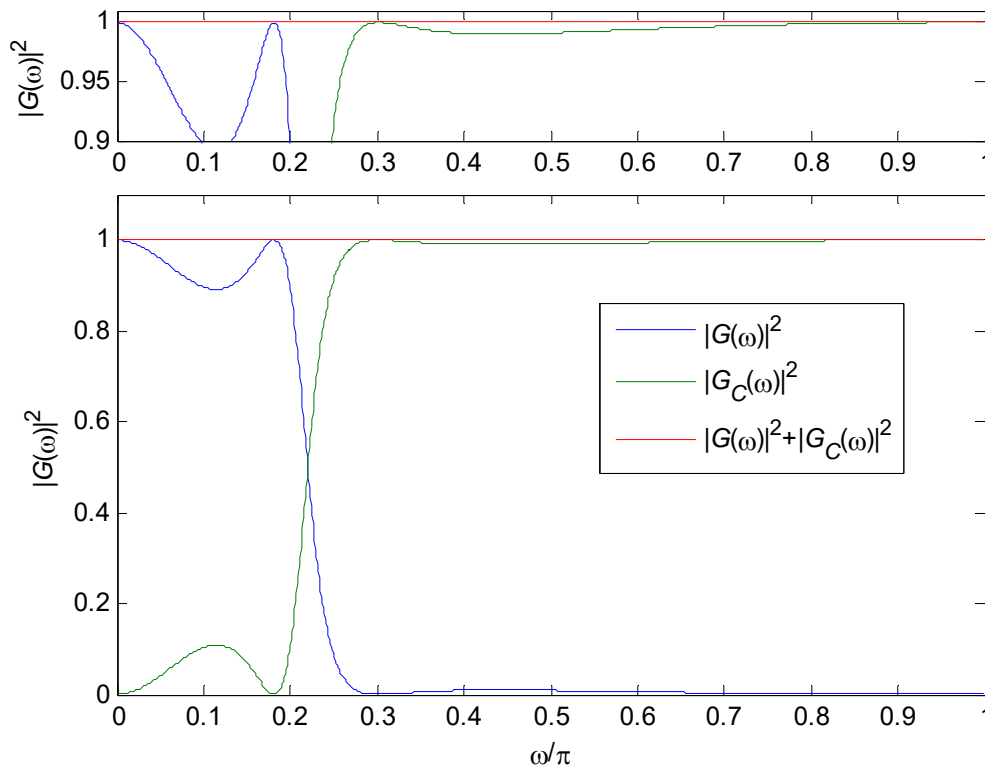
# Komplementarni filtarski parovi *all-pass* komplementarni

$$G(e^{j\omega}) + G_C(e^{j\omega}) = A_{AP}(e^{j\omega})$$



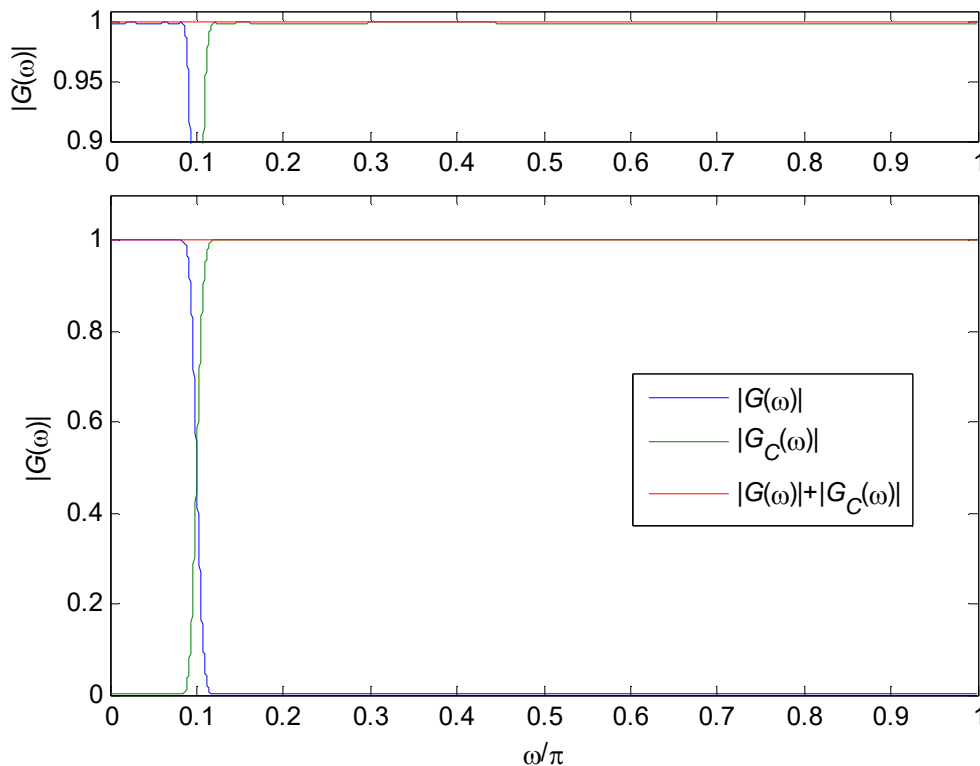
# Komplementarni filtarski parovi *power komplementarni*

$$|G(e^{j\omega})|^2 + |G_C(e^{j\omega})|^2 = 1$$



# Komplementarni filtarski parovi *magnitude komplementarni*

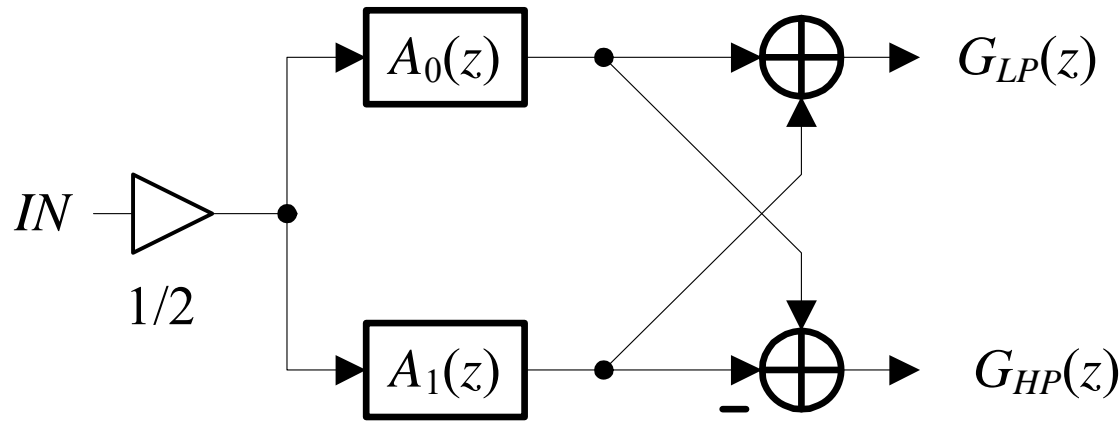
$$|G(e^{j\omega})| + |G_C(e^{j\omega})| = 1$$



# Realizacija IIR filtera preko paralelne veze svepropusnika

- Svaki digitalni IIR filter neparnog reda projektovan metodom bilinearne transformacije može se realizovati kao paralelna veza filtera svepropusnika (*all-pass*)
- Ova realizacija je manje osetljiva na efekte konačne dužine kodne reči (**u propusnom opsegu**)
- Omogućava istovremenu efikasnu realizaciju i LP i HP filtra

# Realizacija IIR filtera preko paralelne veze svepropusnika



$$G_{LP}(z) = [A_0(z) + A_1(z)]/2$$

$$G_{HP}(z) = [A_0(z) - A_1(z)]/2$$

# Primer

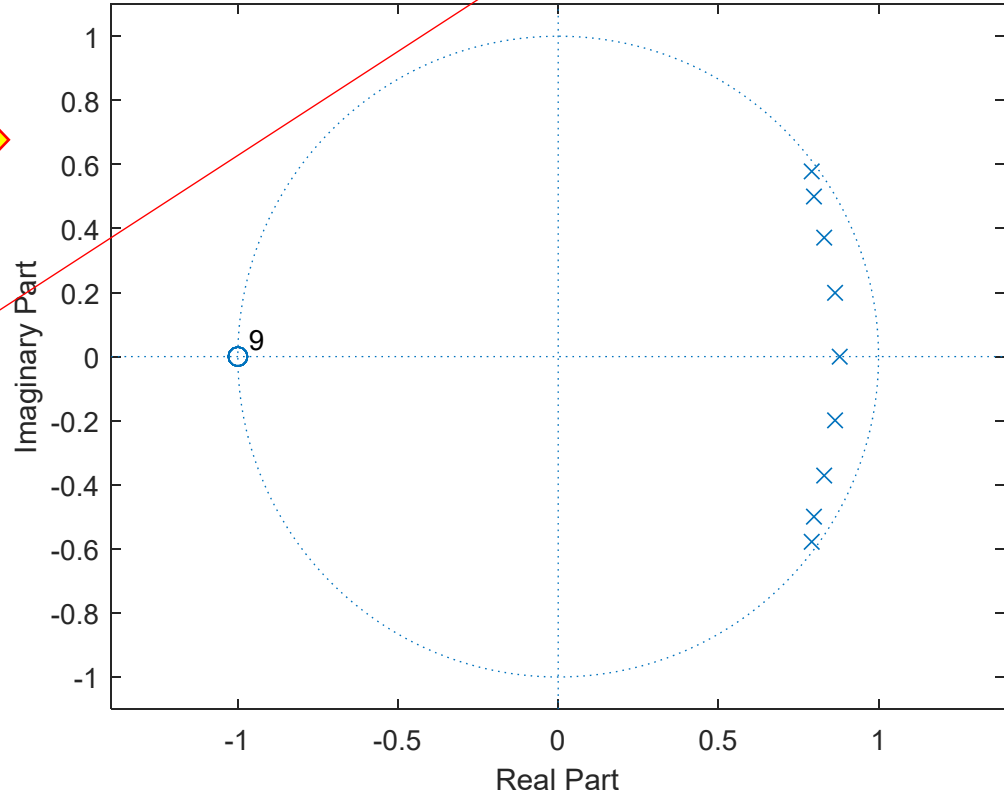
Čebiševljev filter 9 reda (red mora biti neparan)

```

close all
clear
wp=0.2;
ws=0.3;
rp=0.5;
rs=60;
bb=16;
[N,wn]=cheb1ord(wp,ws,rp,rs);
if N/2==round(N/2)
    N=N+1;
end;
[b,a]=cheby1(N,rp,wn);
[z,p,k]=cheby1(N,rp,wn);
[H,w]=freqz(b,a,1000);
figure,zplane(z,p);

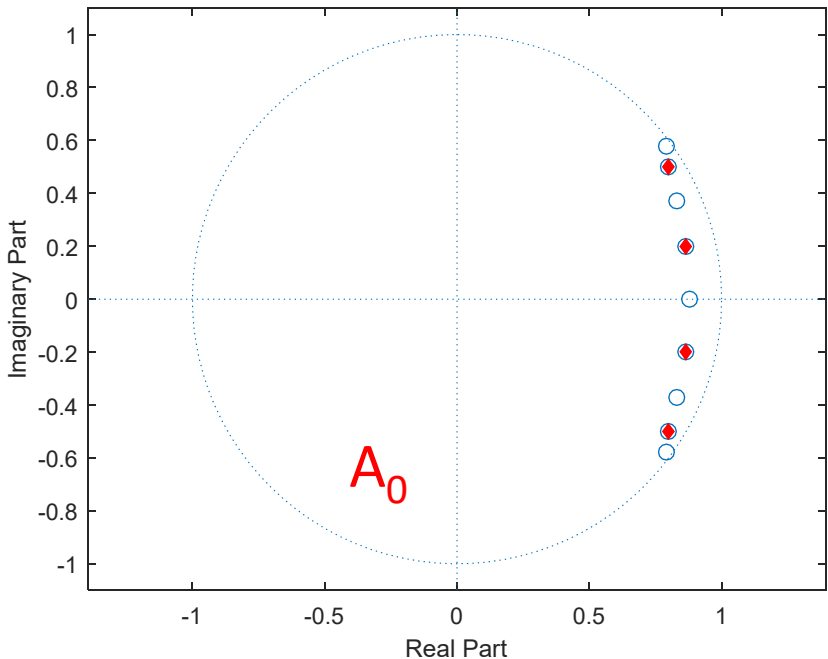
```

Raspored polova  
i nula



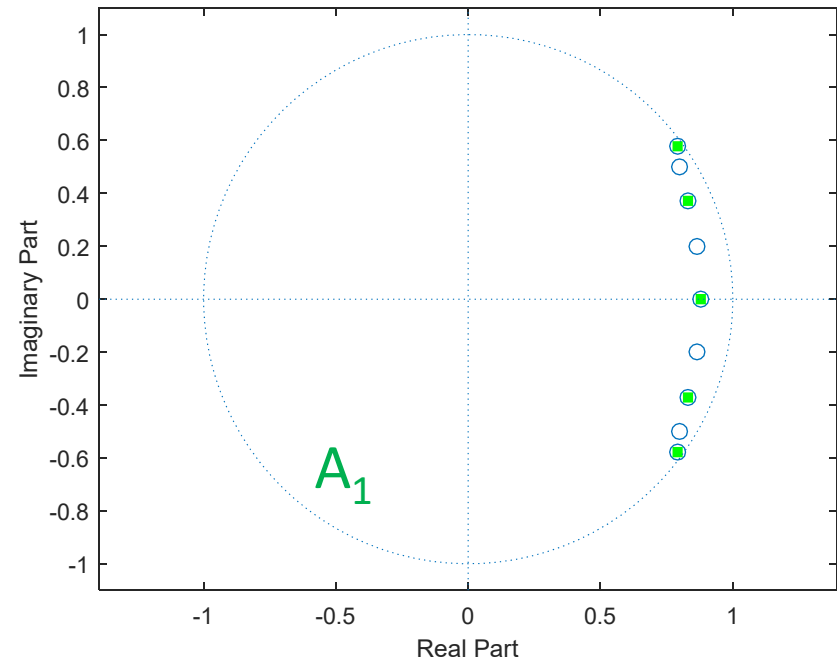
# Primer - IIR filter realized as a parallel connection of two all-pass filters

All-pass branches are formed by dividing the poles into two groups



```
[ps,ind]=sort(abs(p));
p1(1)=p(ind(1));
p0=[];
```

```
for br=1:(N-1)/2
    if br/2~=round(br/2)
        p0=[p0;p(ind(2*(br-1)+2:2*(br-1)+3))];
    else
        p1=[p1;p(ind(2*(br-1)+2:2*(br-1)+3))];
    end;
end;
```



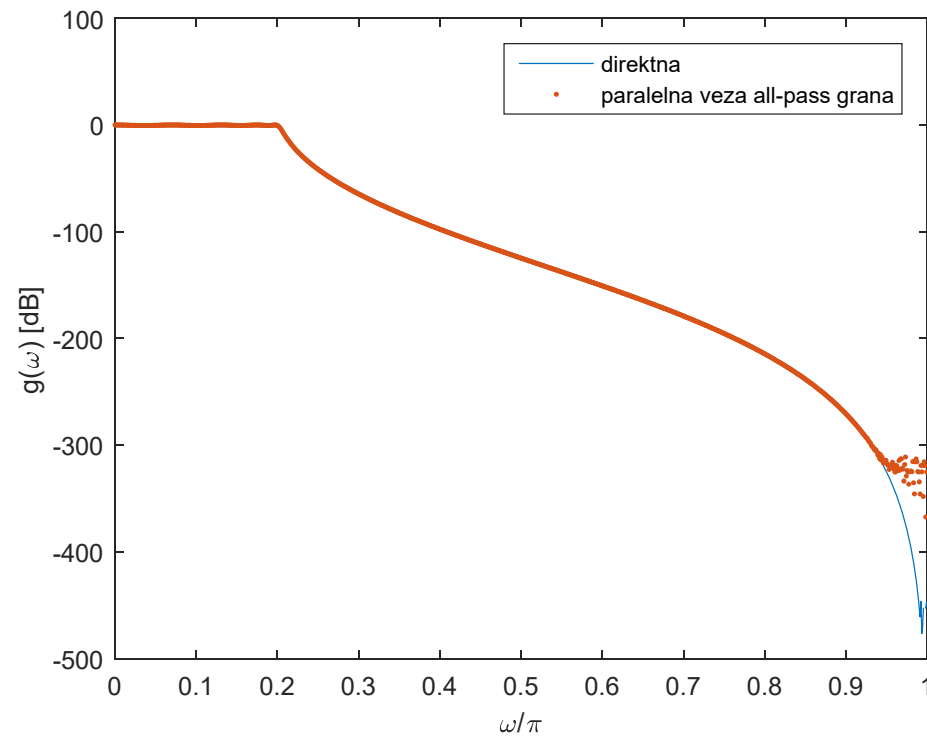
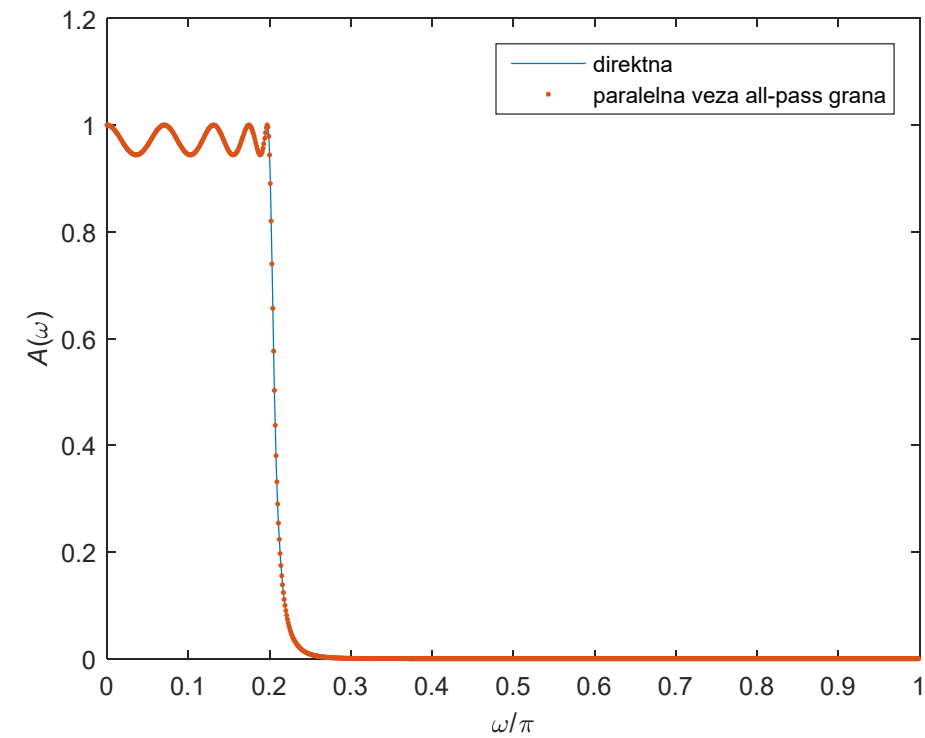
```
figure,zplane(p,p0);
figure,zplane(p,p1);
```

# Primer - IIR filter realized as parallel connection of 2 *all-pass* filters

- *All-pass* branches are formed so that each is split into two groups
- From each group, a polynomial is formed in the denominator of the transfer function corresponding to the branches
- The polynomial in the numerator is formed so that the *all-pass* condition is satisfied

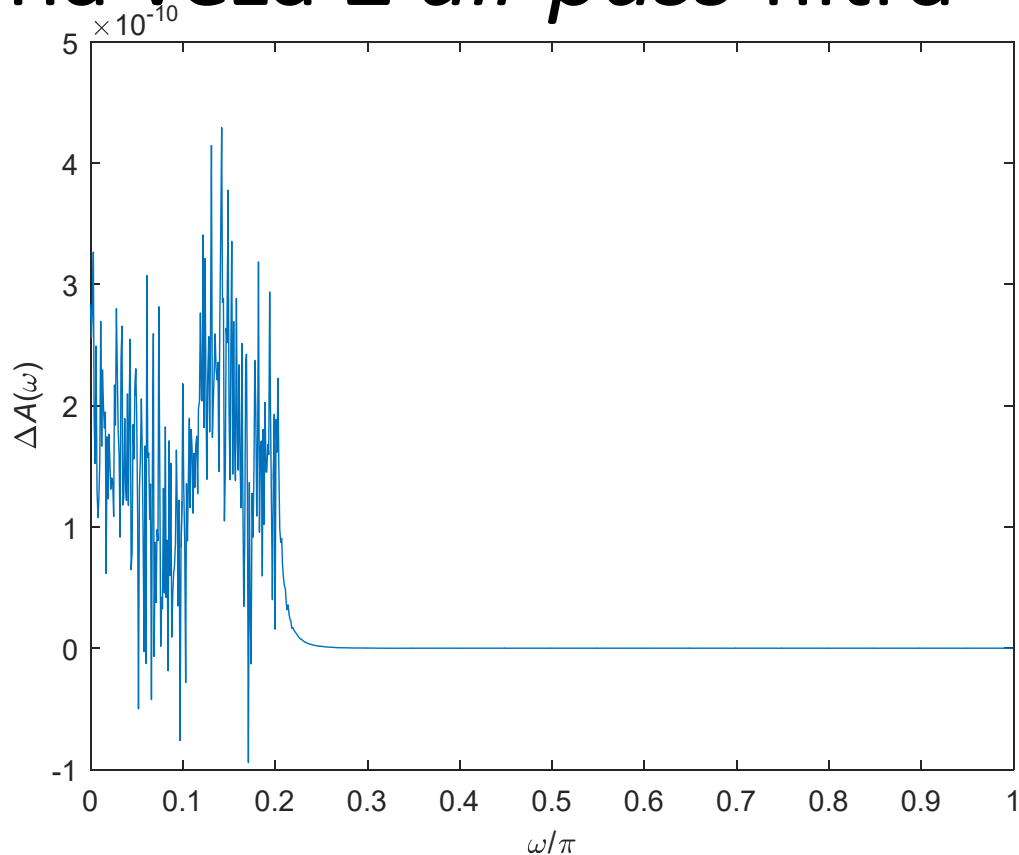
```
a0=poly(p0);  
b0=flipf(a0);  
a1=poly(p1);  
b1=flipf(a1);  
[A0,w]=freqz(b0,a0,1000);  
[A1,w]=freqz(b1,a1,1000);
```

# Primer - IIR filter realized as a parallel ladder of 2 all-pass filters



```
figure,plot(w/pi,abs(H),w/pi,abs(A0+A1)/2,'.');
xlabel('\omega/\pi'); ylabel('A(\omega)');
legend('direktna','paralelna veza all-pass grana');
figure,plot(w/pi,20*log10(abs(H)),w/pi,20*log10(abs(A0+A1)/2),'.');
xlabel('\omega/\pi'); ylabel('g(\omega) [dB]');
legend('direktna','paralelna veza all-pass grana');
```

# Primer - IIR filter realizovan kao paralelni veza 2 *all-pass* filtra



Razlika implementacije funkcijom filter i implementacije preko paralelne veze *all-pass* filtara

# Primer - IIR filter realized as a parallel combination of two all-pass filters

$$G_{LP}(z) = [A_0(z) + A_1(z)]/2$$

$$G_{LP}\left(e^{j\omega}\right) = \frac{\left[A_0\left(e^{j\omega}\right) + A_1\left(e^{j\omega}\right)\right]}{2}$$

$$A_0\left(e^{j\omega}\right) = e^{j\varphi_0(\omega)} \quad A_1\left(e^{j\omega}\right) = e^{j\varphi_1(\omega)}$$

$$G_{LP,HP}\left(e^{j\omega}\right) = \frac{1}{2} \left( e^{j\varphi_0(\omega)} \pm e^{j\varphi_1(\omega)} \right)$$

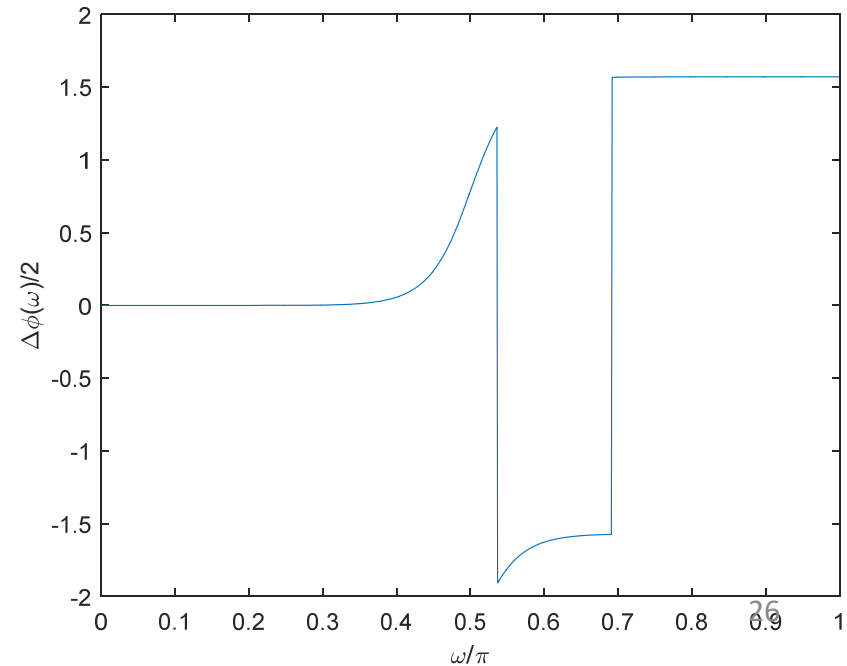
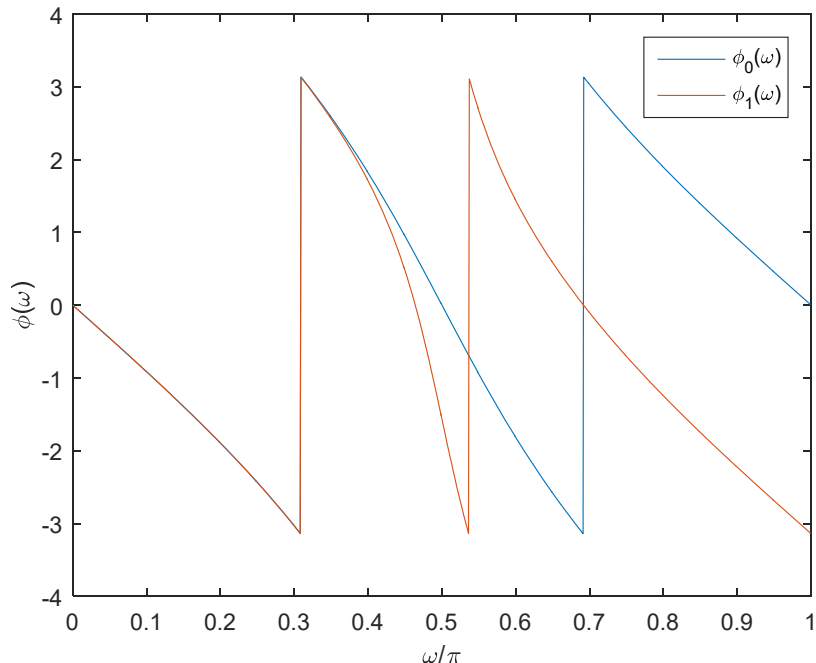
$$G_{LP,HP}\left(e^{j\omega}\right) = \frac{1}{2} e^{j\frac{\varphi_0(\omega)}{2}} e^{j\frac{\varphi_1(\omega)}{2}} \left( e^{j\left(\frac{\varphi_0(\omega)-\varphi_1(\omega)}{2}\right)} \pm e^{j\left(-\frac{\varphi_0(\omega)+\varphi_1(\omega)}{2}\right)} \right)$$

$$G_{LP}\left(e^{j\omega}\right) = \frac{e^{j\frac{\varphi_0(\omega)-\varphi_1(\omega)}{2}} + e^{-j\frac{\varphi_0(\omega)-\varphi_1(\omega)}{2}}}{2} e^{j\frac{\varphi_0(\omega)+\varphi_1(\omega)}{2}}$$

# Primer - IIR filter realized as a parallel connection of two all-pass filters

$$G_{LP}(e^{j\omega}) = \frac{e^{\frac{j(\varphi_0(\omega) - \varphi_1(\omega))}{2}} + e^{-\frac{j(\varphi_0(\omega) - \varphi_1(\omega))}{2}}}{2} e^{\frac{j(\varphi_0(\omega) + \varphi_1(\omega))}{2}}$$

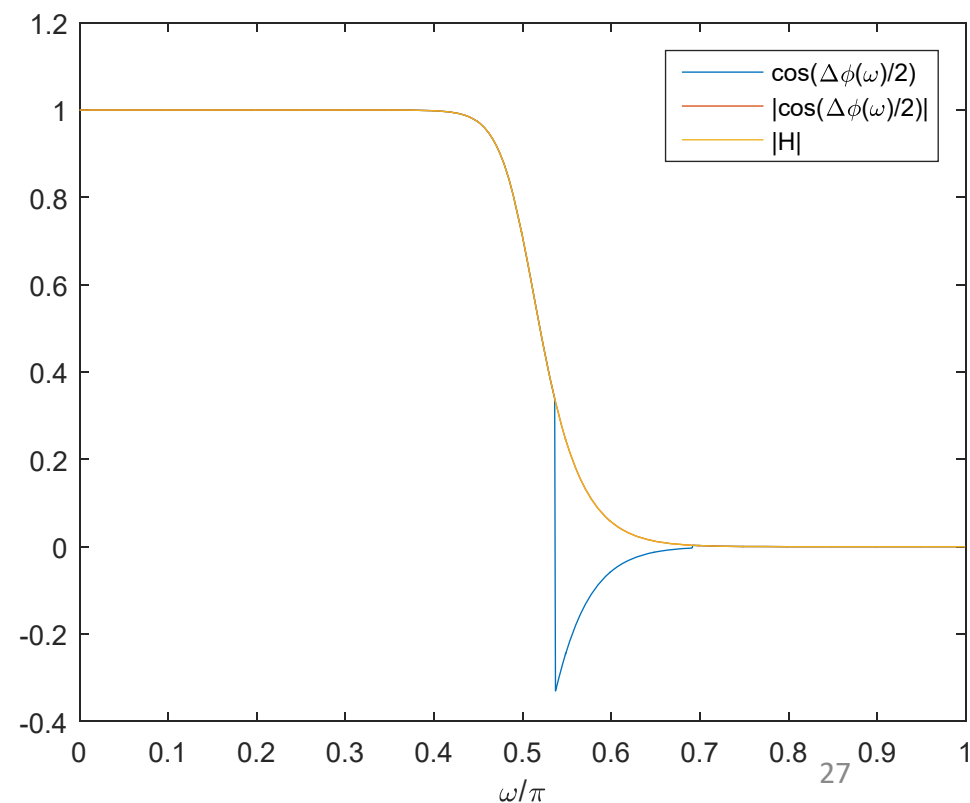
$$G_{LP}(e^{j\omega}) = \cos\left(\frac{\varphi_0(\omega) - \varphi_1(\omega)}{2}\right) e^{\frac{j(\varphi_0(\omega) + \varphi_1(\omega))}{2}}$$



# Primer - IIR filter realized as a parallel connection of two all-pass filters

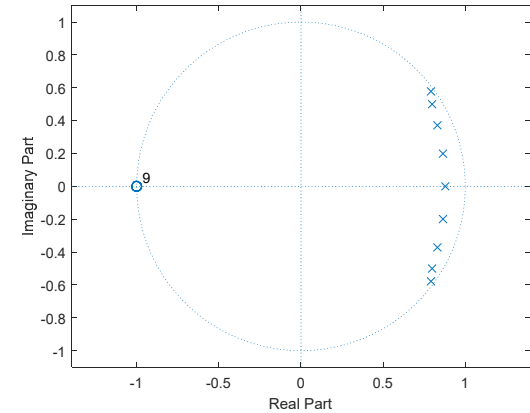
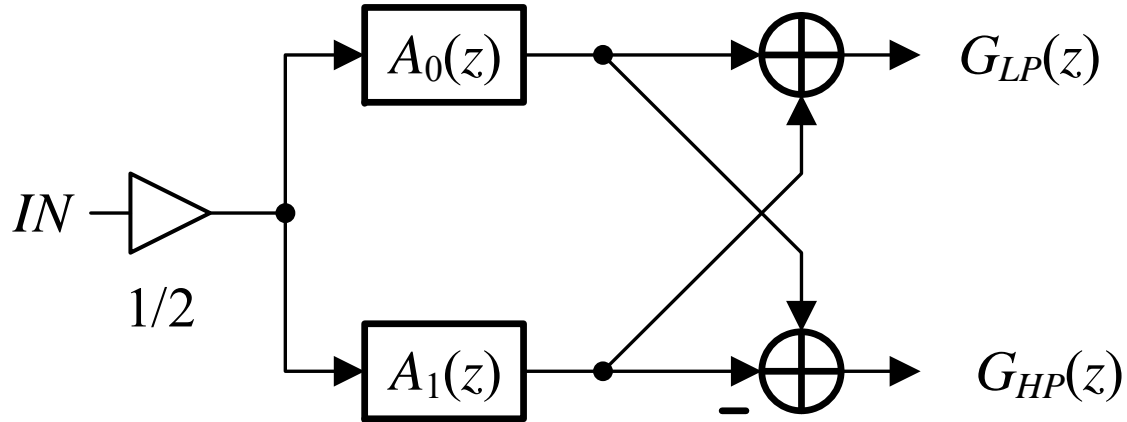
$$G_{LP}(e^{j\omega}) = \frac{e^{\frac{j(\varphi_0(\omega) - \varphi_1(\omega))}{2}} + e^{-\frac{j(\varphi_0(\omega) - \varphi_1(\omega))}{2}}}{2} e^{\frac{j(\varphi_0(\omega) + \varphi_1(\omega))}{2}}$$

$$G_{LP}(e^{j\omega}) = \cos\left(\frac{\varphi_0(\omega) - \varphi_1(\omega)}{2}\right) e^{\frac{j(\varphi_0(\omega) + \varphi_1(\omega))}{2}}$$



# Realizacija preko sekcija nižeg reda

$$G_{LP}(z) = [A_0(z) + A_1(z)]/2$$



$$G_{HP}(z) = [A_0(z) - A_1(z)]/2$$

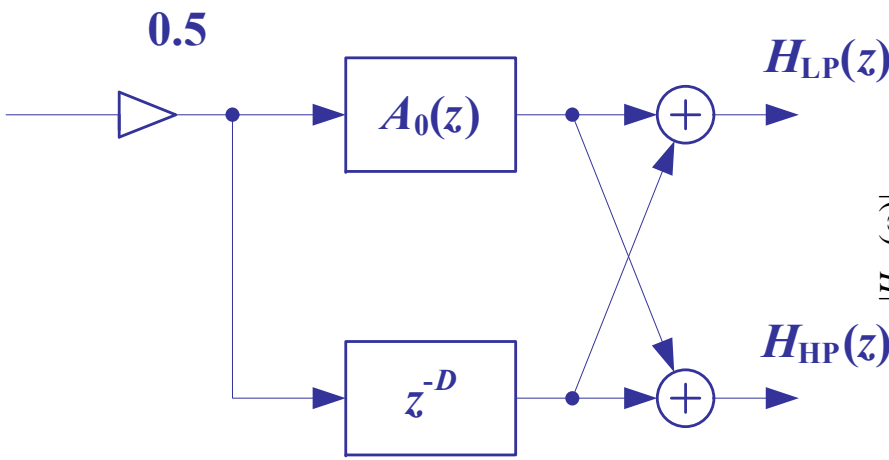
*r<sub>l</sub> – moduli polova*

$$\beta_l = (r_l)^2, \quad \beta_l < \beta_{l+1}$$

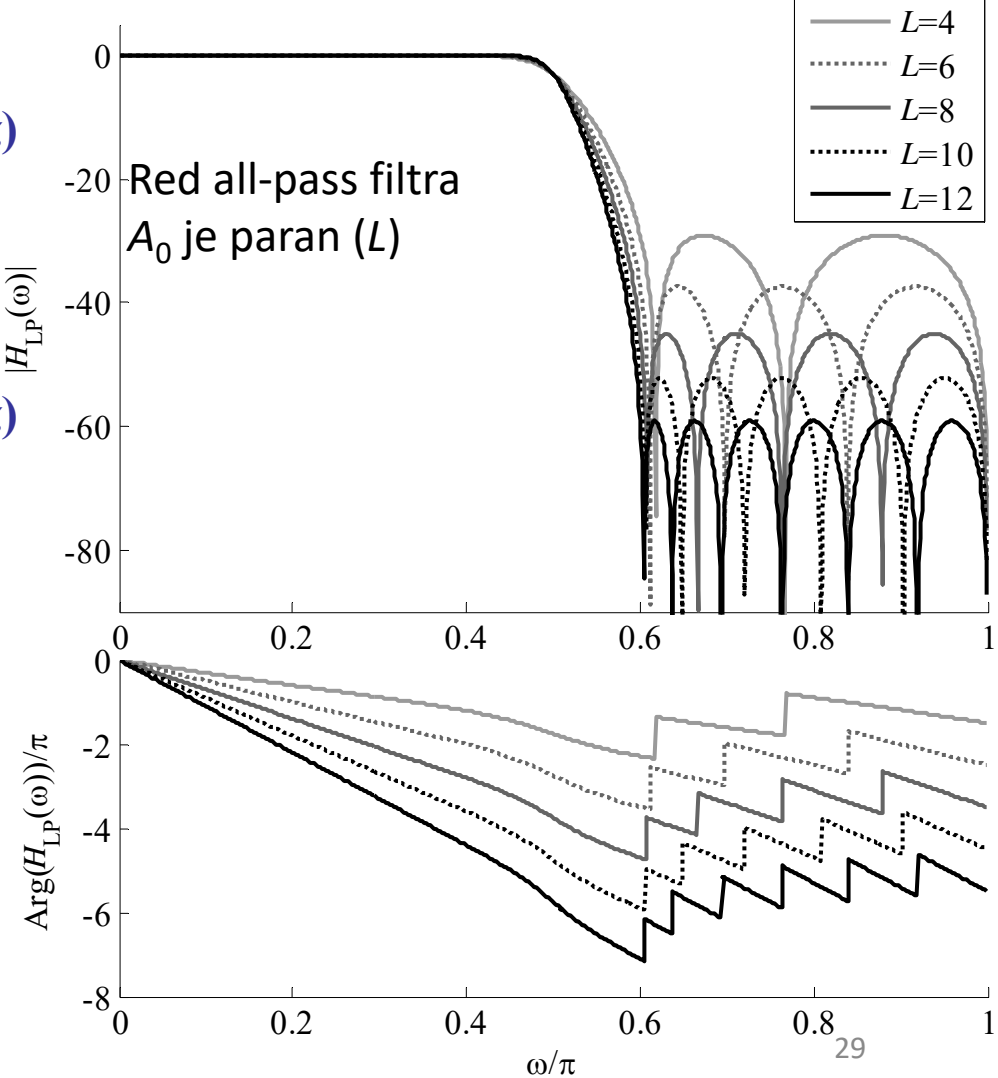
$$A_0(z) = \prod_{l=2,4,\dots}^{(N+1)/2} \frac{\beta_l + \alpha_l(1+\beta_l)z^{-1} + z^{-2}}{1 + \alpha_l(1+\beta_l)z^{-1} + \beta_l z^{-2}}$$

$$A_1(z) = \frac{\alpha_1 + z^{-1}}{1 + \alpha_1 z^{-1}} \prod_{l=3,5,\dots}^{(N+1)/2} \frac{\beta_l + \alpha_l(1+\beta_l)z^{-1} + z^{-2}}{1 + \alpha_l(1+\beta_l)z^{-1} + \beta_l z^{-2}}$$

# IIR filtri približno linearne faze



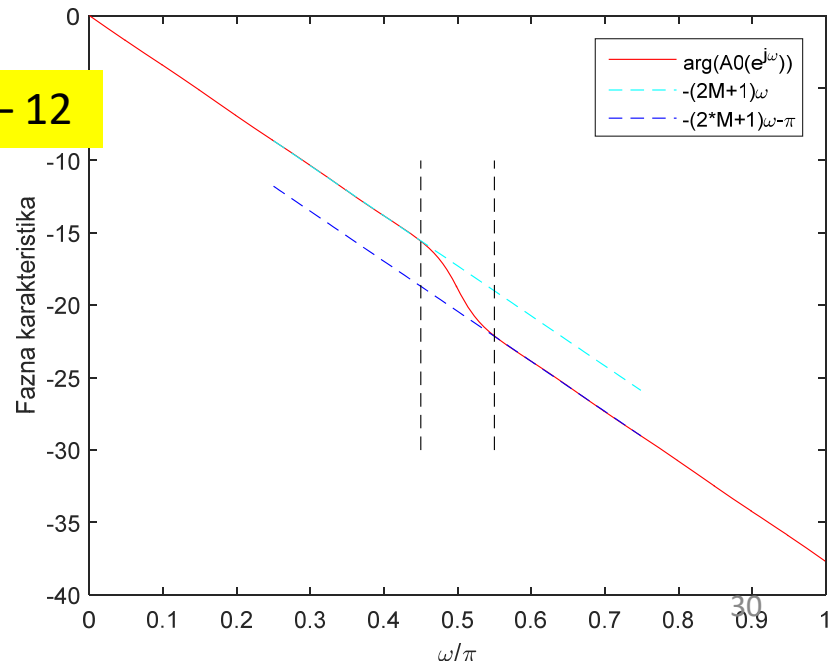
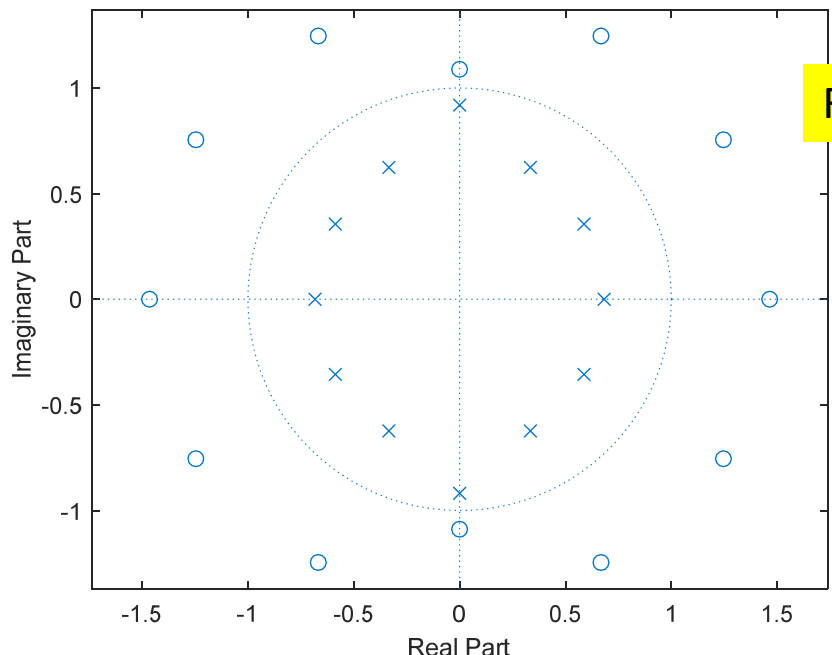
Paralelni veza *all-pass* filtra i kašnjenja (koje je trivijalna *all-pass* sekciija), pa je ovo specijalan slučaj filtra realizovanog kao paralelni veza dva svepropusnika



# IIR filtri približno linearne faze

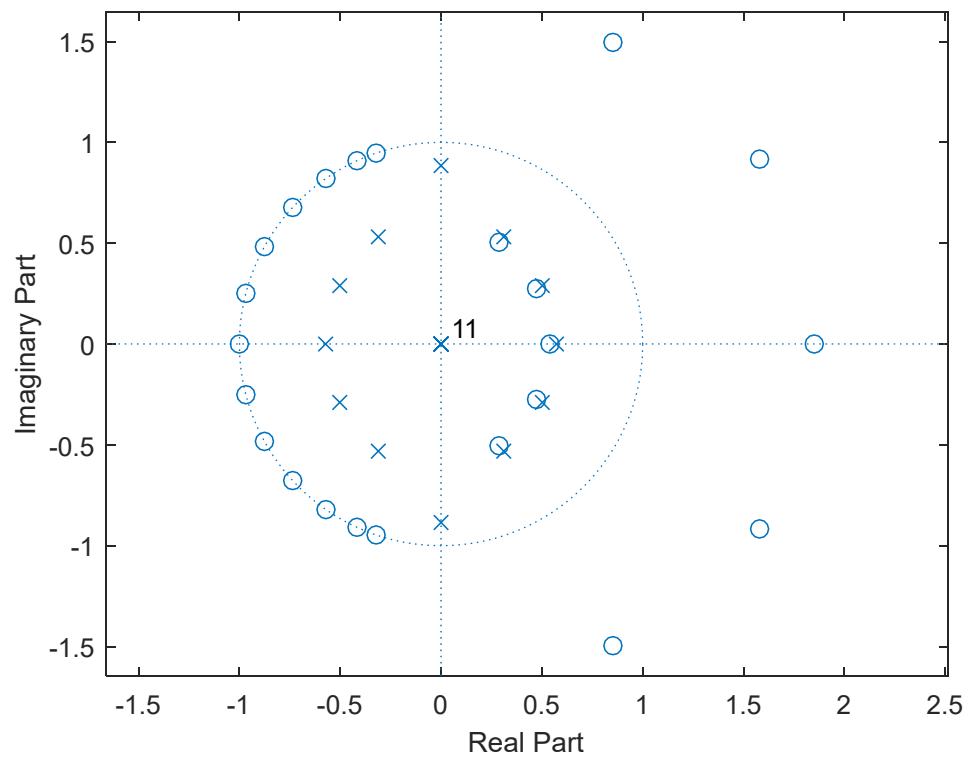
$$A_0(z) = \left( \prod_{s=1}^{S_2} \frac{a_{2,s} + z^{-2}}{1 + a_{2,s}z^{-2}} \right) \left( \prod_{s=S_2+1}^{S_2+S_4} \frac{a_{4,s} + a_{2,s}z^{-2} + z^{-4}}{1 + a_{2,s}z^{-2} + a_{4,s}z^{-4}} \right)$$

A<sub>0</sub> se projektuje opzimizacionim metodama, tako da ima približno linearnu fazu. U propusnom delu  $H_{LP}$  filtra A<sub>0</sub> treba da je u fazi sa kašnjenjem  $z^{-D}$ , odnosno fazna karakteritika se aproksimira prema  $-D\omega$  a u nepropusnom prema  $-D\omega-\pi$ .



# IIR filtri probližno linearne faze

Red  $A_0$  – 12  
Kašnjenje – 11  
Ukupan red filtra 23



# Komplementarnost

$$G_{LP,HP}(e^{j\omega}) = \frac{[A_0(e^{j\omega}) \pm A_1(e^{j\omega})]}{2}$$

$$G_{LP}(e^{j\omega}) + G_{HP}(e^{j\omega}) = A_0(e^{j\omega})$$

$$|G_{LP}(e^{j\omega})| = \left| \cos\left(\frac{\Delta\varphi(\omega)}{2}\right) \right|$$

$$|G_{HP}(e^{j\omega})| = \left| \sin\left(\frac{\Delta\varphi(\omega)}{2}\right) \right|$$

$$|G_{LP}(e^{j\omega})|^2 + |G_{HP}(e^{j\omega})|^2 = 1$$



# Frekvenčjsko maskiranje – IIR filtri

- ukoliko se IIR filter realizuje tehnikom frekvenčjskog maskiranja, ukupan broj računskih operacija u odnosu na direktno projektovan IIR filter približno iste amplitudske karakteristike se povećava
- s druge strane se, međutim, mogu prevazići problemi izbora frekvencije odabiranja
- zbog manje selektivnosti i nešto nižeg reda filtra u prvom stepenu realizacije osetljivost cele strukture je manja
- u specijalnom slučaju, kada je polazni model filter IIR filter približno linearne fazne karakteristike, mogu se dobiti uštede u pogledu složenosti filtra slične kao kada je model filter FIR tipa

# Frekvencijsko maskiranje – IIR filtri - primer

- Projektuje se IIR filter uzane prelazne zone, direktnim projektovanjem kao IIR Čebiševljev filter prve vrste

Parametar	Vrednost
Granica propusnog opsega - $\omega_p$	$0.21\pi$
Granica nepropusnog opsega - $\omega_s$	$0.215\pi$
Dozvoljeno odstupanje u propusnom opsegu - $r_p$	0.01 dB
Zahtevano slabljenje u nepropusnom opsegu - $r_s$	60 dB

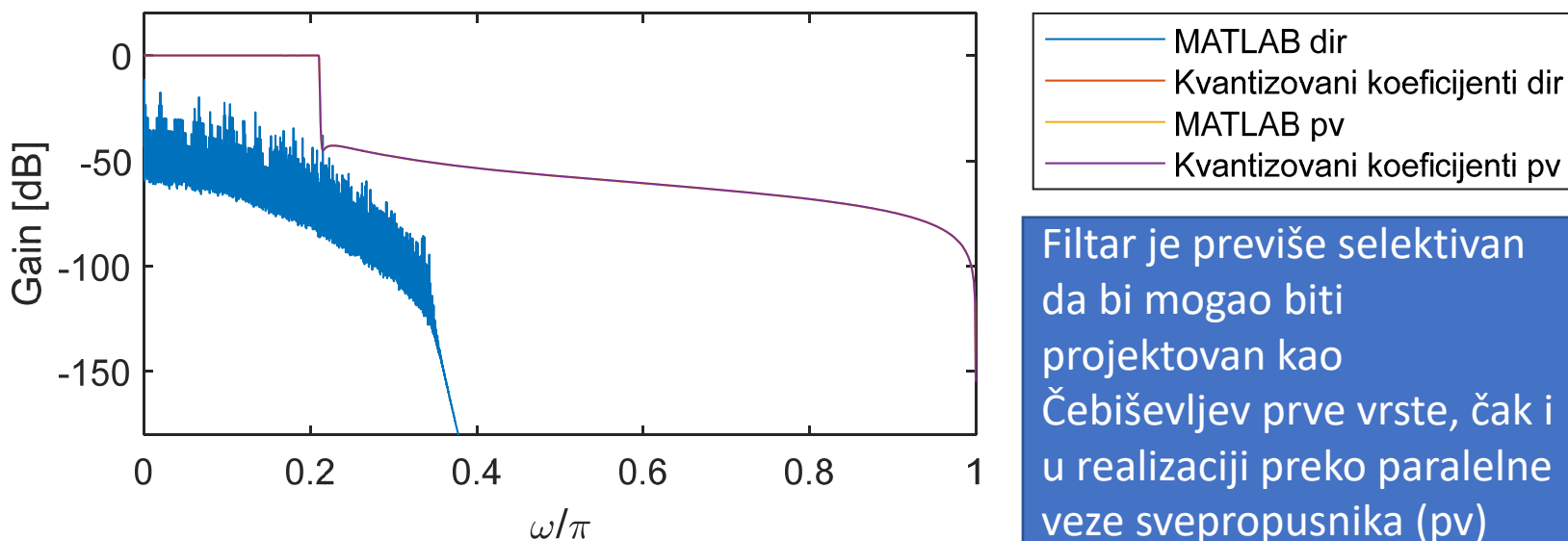
# Frekvencijsko maskiranje – IIR filtri - primer

```
close all
clear
rs=60;
deltas=10^-(rs/20);
deltap=1-sqrt(1-deltas^2);
rp=-20*log10(1-deltap);
rpdd=0.01;
wp=0.21*pi; % granicna frekvencija propusnog opsega
rezultujuceg filtra
ws=0.215*pi; % granicna frekvencija nepropusnog opsega
rezultujuceg filtra
```

Zadavanje gabarita za standardni dizajn u MATLAB-u

# Frekvenčijsko maskiranje – IIR filtri - primer

```
[Ndd,wndd]=cheblord(wp/pi,ws/pi,rpdd,rs);  
if rem(Ndd,2)==0 % iir filter mora biti neparnog reda  
    Ndd=Ndd+1;  
end  
[bdd,add]=cheby1(Ndd,rpdd,wndd);  
[zdd,pdd,kdd]=cheby1(Ndd,rpdd,wndd);
```



# Frekvenčjsko maskiranje – IIR filtri - primer

```
%% Frekvenčjsko maskiranje - parametri
M=16;
m=floor(wp*M/2/pi);
if ws*M-2*m*pi<pi && m>0 % dizajn tipa 1
    wppt=wp*M-2*m*pi; % granicna frekvencija propusnog opsega
    prototip filtra
    wspt=ws*M-2*m*pi; % granicna frekvencija nepropusnog opsega
    prototip filtra
    wpf1=(2*m*pi+wppt)/M; % granicna frekvencija propusnog opsega
    maskirajuceg filtra F1
    wsf1=(2*(m+1)*pi-wspt)/M; % granicna frekvencija nepropusnog
    opsega maskirajuceg filtra F1
    wpf2=(2*m*pi-wppt)/M; % granicna frekvencija propusnog opsega
    maskirajuceg filtra F2
    wsf2=(2*m*pi+wspt)/M; % granicna frekvencija nepropusnog opsega
    maskirajuceg filtra F2
else
```

# Frekvenčijsko maskiranje – IIR filtri - primer

```

m=ceil(ws*M/2/pi); % dizajn tipa 2
if 2*m*pi-wp*M<pi
    wppt=2*m*pi-ws*M; % granicna frekvencija propusnog opsega
prototip filtra
    wspt=2*m*pi-wp*M; % granicna frekvencija nepropusnog opsega
prototip filtra
    wpf1=(2*(m-1)*pi+wspt)/M; % granicna frekvencija propusnog
opsega maskirajuceg filtra F1
    wsf1=(2*m*pi-wppt)/M; % granicna frekvencija nepropusnog
opsega maskirajuceg filtra F1
    wpf2=(2*m*pi-wspt)/M; % granicna frekvencija propusnog
opsega maskirajuceg filtra F2
    wsf2=(2*m*pi+wppt)/M; % granicna frekvencija nepropusnog
opsega maskirajuceg filtra F2
else
    pogresni_parametri=1;
end
end

```

Za detalje oko izbora  
parametara, pogledati \*

\*Yong Lim, "Frequency-response masking approach for the synthesis of sharp linear phase digital filters," in *IEEE Transactions on Circuits and Systems*, vol. 33, no. 4, pp. 357-364, April 1986.

# Frekvencijsko maskiranje – IIR filtri - primer

```
%% Frekvencijsko maskiranje - prototip filter
[Npt,wnpt]=cheb1ord(wppt/pi,wspt/pi,rp,rs);
if rem(Npt,2)==0 % iir filter mora biti neparnog reda
    Npt=Npt+1;
end

G_M=(A0ptMuk+A1ptMuk)/2;
Gc_M=(A0ptMuk-A1ptMuk)/2;

G_Mqq=(A0ptMukqq+A1ptMukqq)/2;
Gc_Mqq=(A0ptMukqq-A1ptMukqq)/2;
```

Simulira se i kvantizacija  
koeficijenata na određenu  
dužinu kodne reči

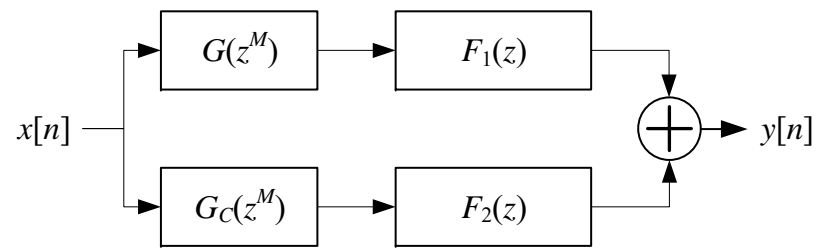
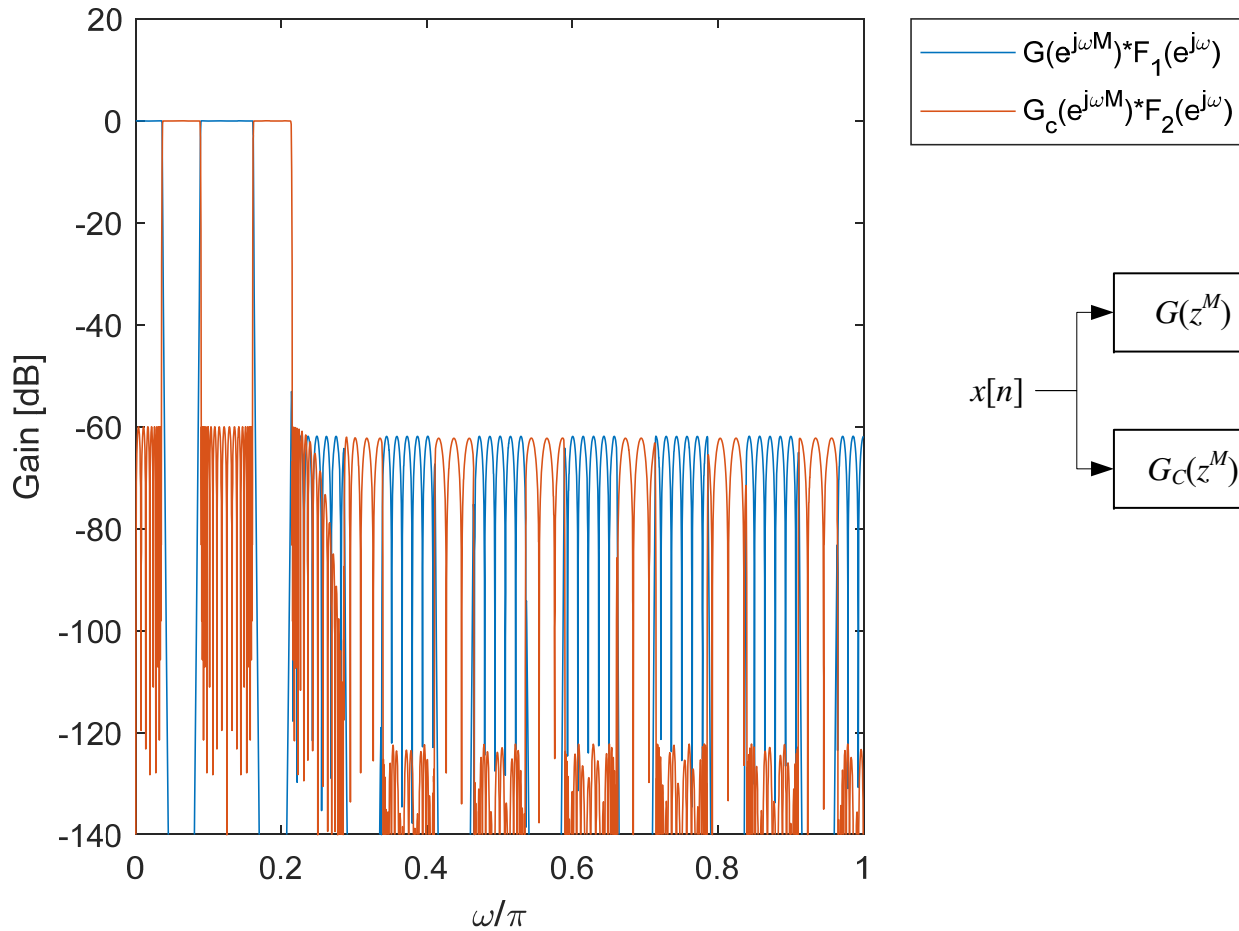
# Frekvenčjsko maskiranje – IIR filtri - primer

```
%% Frekvenčjsko maskiranje - maskirajući filtri
[N1,ff1,aa1,tf1]=firpmord([wpf1 wsf1]/pi,[1 0],[0.5*(1-10^(-rpdd/20)) 0.8*deltas]);
[N2,ff2,aa2,tf2]=firpmord([wpf2 wsf2]/pi,[1 0],[0.5*(1-10^(-rpdd/20)) 0.8*deltas]);

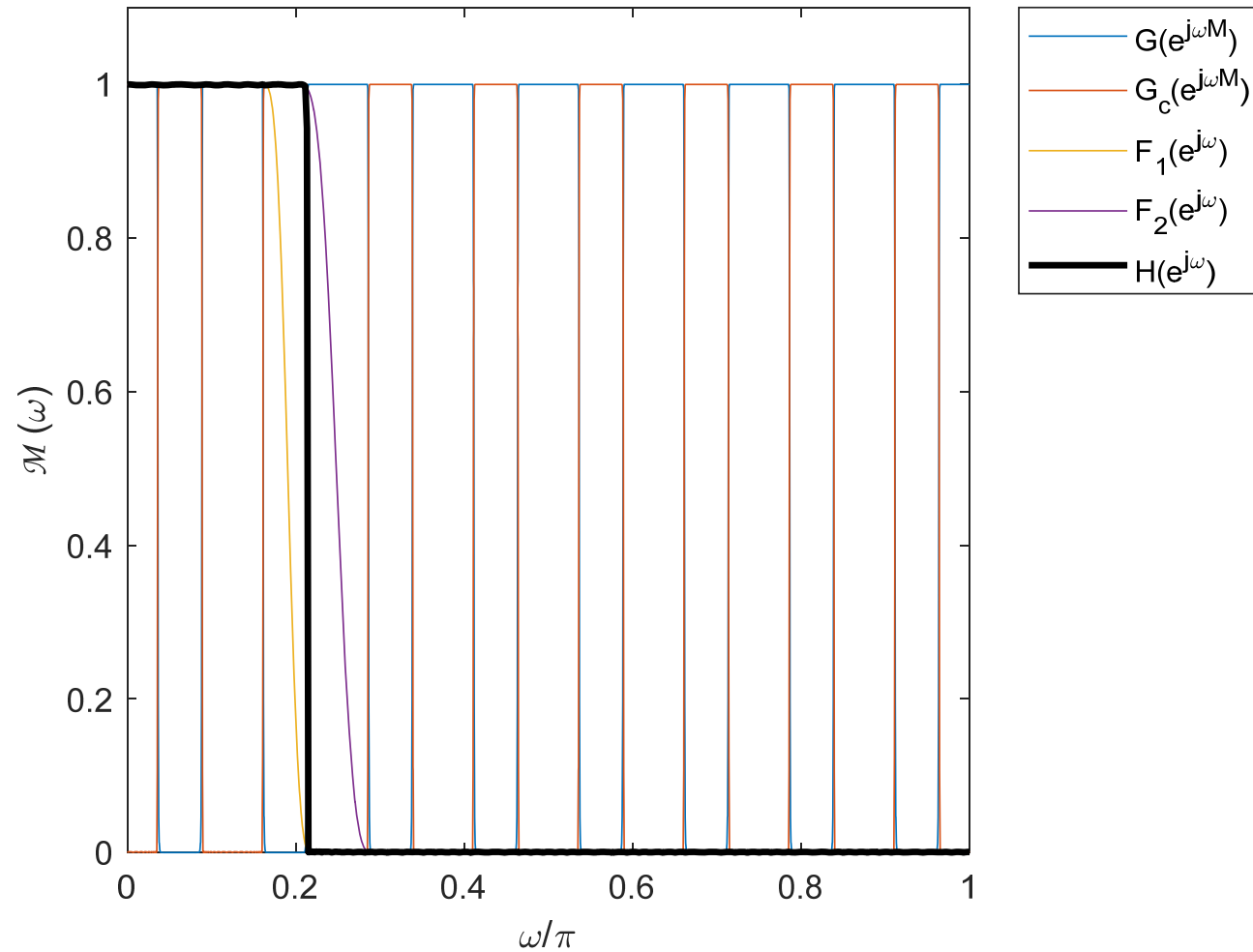
[F1,w]=freqz(f1,1,broj_tacaka_f_kk);
[F2,w]=freqz(f2,1,broj_tacaka_f_kk);
```

Maskirajući filtri su FIR filtri  
linearne faze

# Frekvenčijsko maskiranje – IIR filtri - primer



# Frekvenčijsko maskiranje – IIR filtri - primer



# Frekvenčijsko maskiranje – IIR filtri - primer

Filtar	Red_filtrat
{'Direktni IIR'}	{'49'}
{'Direktni IIR - All Pass A_0'}	{'24'}
{'Direktni IIR - All Pass A_1'}	{'25'}
{'Prototip IIR'}	{'21'}
{'Prototip IIR - All Pass A_0'}	{'10'}
{'Prototip IIR - All Pass A_1'}	{'11'}
{'Maskirajući F_1'}	{'140'}
{'Maskirajući F_2'}	{'94'}

M=16

# Frekvenčijsko maskiranje – IIR filtri - primer

Filtar

---

```
{'Direktni IIR'}  
{'Direktni IIR - All Pass A_0'}  
{'Direktni IIR - All Pass A_1'}  
{'Prototip IIR'}  
{'Prototip IIR - All Pass A_0'}  
{'Prototip IIR - All Pass A_1'}  
{'Maskirajući F_1'}  
{'Maskirajući F_2'}
```

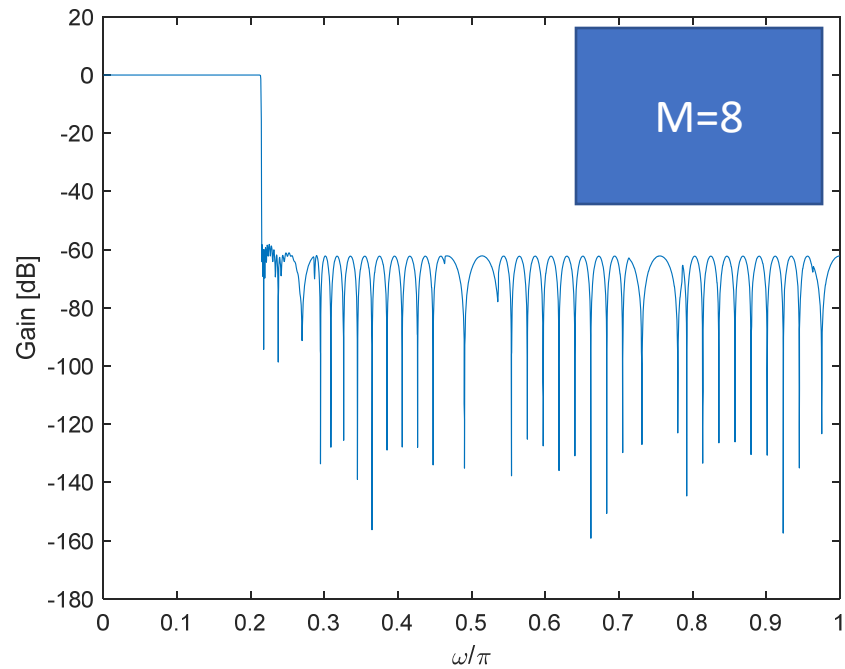
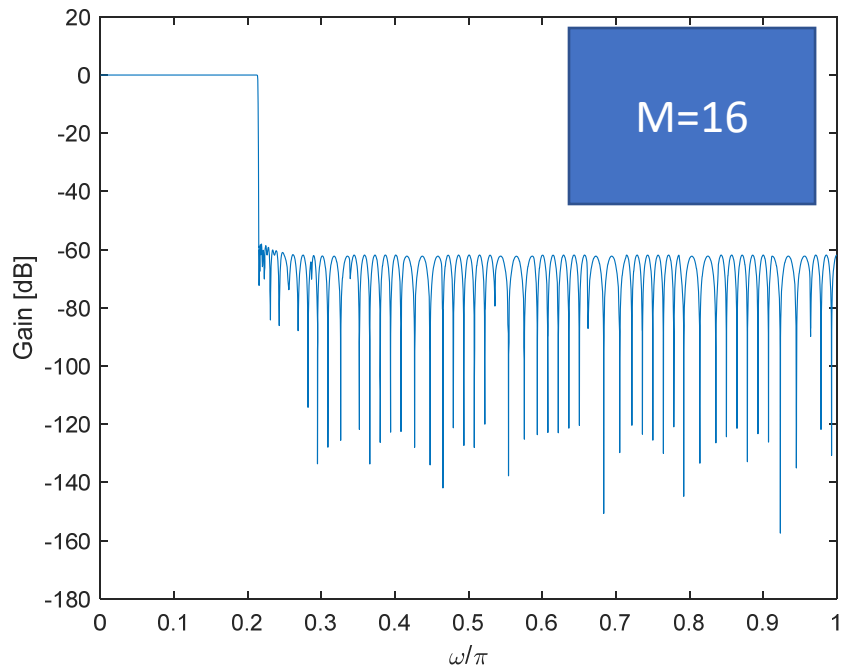
Red\_filtrat

---

```
{'49'}  
{'24'}  
{'25'}  
{'27'}  
{'14'}  
{'13'}  
{'40'}  
{'94'}
```

M=8

# Frekvenčijsko maskiranje – IIR filtri - primer



Detaljno urađen primer:

[http://telit.etf.rs/predmeti/sistemi\\_sa\\_vise\\_brzina\\_\(13M031SVB\)/Tehnika\\_frekvencijskog\\_maskiranja\\_primer\\_IIR.pdf](http://telit.etf.rs/predmeti/sistemi_sa_vise_brzina_(13M031SVB)/Tehnika_frekvencijskog_maskiranja_primer_IIR.pdf)